

# La ecuación de Schrödinger

Fernando Barreiro

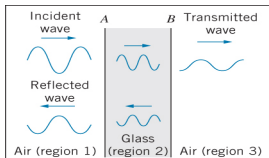
Universidad Autónoma de Madrid

Fundamentos Física III

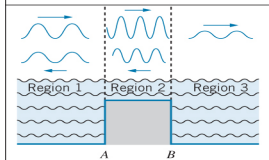
- En Mecánica Clásica, comportamiento de una masa puntual sujeta a una determinada fuerza  $\vec{F}$ ,  $F = -\frac{dU}{dx}$ , está totalmente determinado por las soluciones de la ecuación de Newton:  $\vec{F} = d\vec{p}/dt \Rightarrow \vec{v}(t) \Rightarrow \vec{r}(j)$
- Ejemplo: satélite moviéndose bajo la fuerza gravitacional describirá una trayectoria elíptica
- En N.R.Q.M. la ecuación a resolver es la de Schrödinger, cuyas soluciones me dan una llamada **función de onda**:  $-\frac{\hbar^2}{2m} \frac{d^2\Psi(x)}{dx^2} + U(x)\Psi(x) = E\Psi(x)$
- $\Psi(x)$  contiene información sobre naturaleza ondulatoria de la partícula
  - que **no me determina su trayectoria** como en Mecánica newtoniana
  - cuyo **cuadrado me da la densidad de probabilidad de encontrarla**

# Comportamiento de las ondas en la frontera entre dos medios

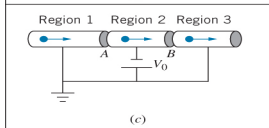
- Onda atraviesa frontera dos medios es parcialmente reflejada y transmitida
- En la frontera a un medio **prohibido** la onda puede penetrar algunas longitudes de onda en ese medio
- En una frontera finita la onda y su primera derivada son continuas.
- En una frontera infinita la onda es continua pero no su primera derivada



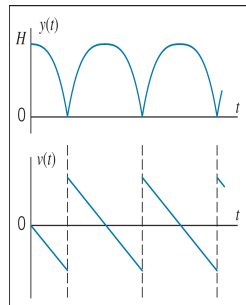
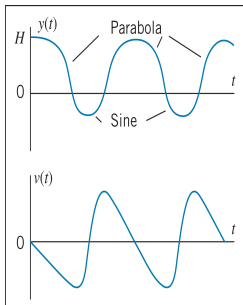
(a)



(b)



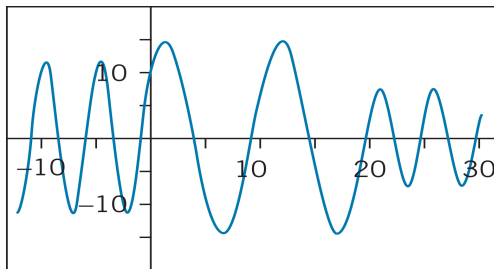
(c)



## Comportamiento de las ondas en la frontera entre dos medios: ejemplo

Una onda de ecuación  $y_1(x) = C_1 \sin\left(\frac{2\pi x}{\lambda_1} - \Phi_1\right)$  con  $C_1 = 11.5$ ,  $\lambda_1 = 4.97$  cm y  $\Phi_1 = -65,3^\circ$ , atraviesa una región (2) de anchura  $L = 20.0$  cm donde su longitud de onda es  $\lambda_2 = 10.5$  cm. Determinar la ecuación de la onda en (2) y en (3). Ver la figura anterior.

- $y_2(x) = C_2 \sin\left(\frac{2\pi x}{\lambda_2} - \Phi_2\right)$  e  $y_3(x) = C_3 \sin\left(\frac{2\pi x}{\lambda_1} - \Phi_3\right)$  ecuaciones en (2) y (3)
- Continuidad en  $x = 0 \Rightarrow -C_1 \sin \Phi_1 = -C_2 \sin \Phi_2$
- Continuidad derivada en  $x = 0 \Rightarrow \frac{2\pi}{\lambda_1} C_1 \cos \Phi_1 = \frac{2\pi}{\lambda_2} C_2 \cos \Phi_2$
- Dividiendo :  $\phi_2 = \arctan\left(\frac{\lambda_1}{\lambda_2} \tan \phi_1\right) = -45.8^\circ$  y  $C_2 = C_1 \frac{\sin \Phi_1}{\sin \Phi_2} = 14.6$  cm
- Continuidad en  $x = L \Rightarrow C_2 \sin\left(\frac{2\pi L}{\lambda_2} - \Phi_2\right) = C_3 \sin\left(\frac{2\pi L}{\lambda_1} - \Phi_3\right)$
- Con. der. en  $x = L \Rightarrow \frac{2\pi}{\lambda_2} C_2 \cos\left(\frac{2\pi L}{\lambda_2} - \Phi_2\right) = \frac{2\pi}{\lambda_1} C_3 \cos\left(\frac{2\pi L}{\lambda_1} - \Phi_3\right)$
- Dividiendo  $\Phi_3 = 60.9^\circ \Rightarrow C_3 = 7.36$  cm



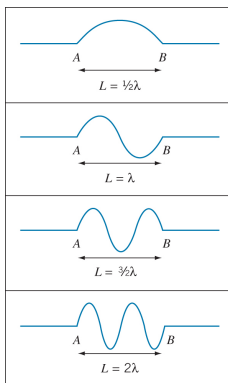
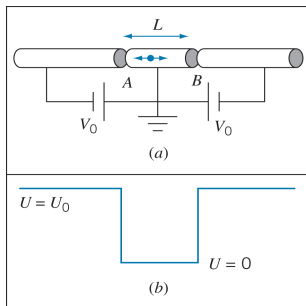
Para  $x < 0$  la ecuación de una onda es  $y(x) = A \cos(2\pi x/\lambda + \pi/3)$ . Para  $x > 0$  la longitud de onda se reduce a la mitad. Encontrar la amplitud y fase de la onda en  $x > 0$

Sol:

- Para  $x > 0 \Rightarrow y(x) = B \cos(2\pi x/\lambda/2 + \phi) = B \cos(4\pi x/\lambda + \phi)$
- Continuidad de la f.d.o :  $x = 0 \Rightarrow A \cos(\pi/3) = B \cos \phi$
- Continuidad derivada :  $x = 0 \Rightarrow -2\pi(A/\lambda) \sin(\pi/3) = -4\pi(B/\lambda) \sin(\phi)$
- Dividiendo :  $\tan \phi = 0.5 \tan(\pi/3) \Rightarrow \phi = 40.9^\circ$
- $B = A \frac{\cos(\pi/3)}{\cos \phi} = 0.66 A$

## Electrón confinado

- En QM uno frecuentemente estudia partículas confinadas como electrón en un átomo
- $V = 0$  en la región central y  $V = -V_0$  en laterales  $\Rightarrow U = 0$ , en central y  $U = U_0 = (-e) \cdot (-V_0)$  en laterales.
- Un electrón en la región central con  $K \ll U_0$  **nunca puede saltar a las regiones laterales clásicamente** : **pozo de potencial**
- Condiciones de continuidad :  $y(x) = A \sin \frac{2\pi x}{\lambda} \Rightarrow 2\pi L/\lambda = n\pi \Rightarrow \lambda_n = \frac{2L}{n}$
- Por tanto  $p_n = \frac{h}{\lambda_n} = \frac{nh}{2L} \Rightarrow E_n = \frac{p_n^2}{2m} = n^2 \frac{h^2}{8mL^2}$  : **energías cuantificadas**



- Suponiendo el pozo de potencial es infinito  $\Delta x = L$
- $\Delta p_x = \sqrt{\langle p_x^2 \rangle - \langle p_x \rangle^2}$
- Electrón en región central tiene igual probabilidad de moverse a derecha o a izquierda  $\Rightarrow \langle p_x \rangle = 0 \Leftrightarrow$  onda estacionaria es superposición dos ondas idénticas en sentidos opuestos
- Por otra parte  $p_x^2 = (nh/2L)^2 \Rightarrow \Delta p_x = \frac{nh}{2L}$
- Por tanto  $\Delta x \Delta p_x \sim \frac{nh}{2} > \frac{\hbar}{2}$  de acuerdo con relaciones incertidumbre Heisenberg

Un electrón ( $m_e c^2 = 0.511 \text{ MeV}$ ) está atrapado en un pozo de anchura  $0.1 \text{ nm}$ . Determinar las energías de sus tres estados de energía más bajos.

Sol.

- $E_1 = \frac{h^2}{8mL^2} = \frac{(hc)^2}{8mc^2L^2} = \frac{(1240\text{eV}\cdot\text{nm})^2}{8(511.000 \text{ eV})(0.1 \text{ nm})^2} = 37.6 \text{ eV}$
- $E_2 = 150.4 \text{ eV}$  y  $E_3 = 338.4 \text{ eV}$

Determinar la energía mínima de un neutrón ( $mc^2 = 940 \text{ MeV}$ ) confinado en una region de dimensiones nucleares  $10 \text{ fm}$

Sol:

- $E_1 = \frac{h^2}{8mL^2} = \frac{(hc)^2}{8mc^2L^2} = \frac{(1240 \text{ MeV}\cdot\text{fm})^2}{8(940 \text{ MeV})(10 \text{ fm})^2} = 2 \text{ MeV}$
- $E_2 = 8 \text{ MeV}$  y  $E_3 = 18 \text{ MeV}$



- Ecuación diferencial cuyas soluciones describen el comportamiento ondulatorio de las partículas fue formulada por Erwin Schrödinger en 1926.
- Justificación : partícula libre  $\Rightarrow \Psi(x) = A \sin kx$  con  $k = 2\pi/\lambda$  y  $K = p^2/2m = (h/\lambda)^2/2m = \hbar^2 k^2/2m$
- Pero  $\frac{d\Psi(x)}{dx} = kA \cos kx$  y  $\frac{d^2\Psi(x)}{dx^2} = -k^2 A \sin kx = -k^2 \Psi(x)$
- $\frac{d^2\Psi(x)}{dx^2} = -k^2 \Psi(x) = -\frac{2m}{\hbar^2} K \Psi(x) = -\frac{2m}{\hbar^2} (E - U) \Psi(x)$
- Ecuación independiente del tiempo:  $-\frac{\hbar^2}{2m} \frac{d^2\Psi(x)}{dx^2} + U(x)\Psi(x) = E\Psi(x)$
- Soluciones :  $\Psi(x)$  para  $t = 0$ . Para un  $t$  arbitrario:  $\Psi(x, t) = \Psi(x)e^{-i\omega t}$  con  $\omega = E/\hbar$
- Interpretación de  $\Psi(x)$  :  $P(x)dx = |\Psi(x)|^2 dx \Rightarrow P(x_1, x_2) = \int_{x_1}^{x_2} |\Psi(x)|^2 dx$
- Normalización :  $\int_{-\infty}^{\infty} |\Psi(x)|^2 dx = 1$
- $\langle x \rangle = \int \Psi^*(x) \cdot x \cdot \Psi(x) dx$  ;  $\langle f(x) \rangle = \int \Psi^*(x) \cdot f(x) \cdot \Psi(x) dx$

## Como resolver ecuaciones diferenciales con coeficientes constantes

Sea la ecuación

$$\frac{d^n f(x)}{dx^n} + a_1 \frac{d^{n-1} f(x)}{dx^{n-1}} + a_2 \frac{d^{n-2} f(x)}{dx^{n-2}} + \dots + a_{n-1} \frac{df(x)}{dx} + a_n f(x) = 0 \quad (1)$$

Si definimos simbólicamente  $D = \frac{d}{dx}$  podemos re-escribirla como:

$$[D^n + a_1 D^{n-1} + a_2 D^{n-2} + \dots + a_{n-1} D + a_n] f(x) = 0 \quad (2)$$

Busquemos soluciones del tipo  $f(x) = Ae^{rx}$ . Como  $D^n(Ae^{rx}) = r^n Ae^{rx}$ , sustituyendo obtendremos

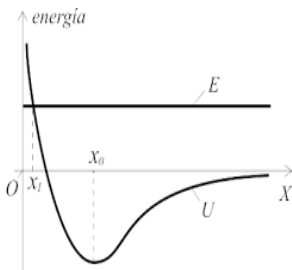
$$[r^n + a_1 r^{n-1} + a_2 r^{n-2} + \dots + a_{n-1} r + a_n] Ae^{rx} = 0 \Rightarrow [r^n + a_1 r^{n-1} + a_2 r^{n-2} + \dots + a_n] = 0 \quad (3)$$

Vemos pues que la ecuación diferencial se ha convertido en una ecuación algebraica. Según el teorema general del algebra, un polinomio de grado  $n$  tiene  $n$  raíces. Denotemos por  $r_i$  con  $i = 1, 2, \dots, n$  las raíces del polinomio anterior:

$$f(x) = \sum_{i=1}^n A_i e^{r_i x} \quad (4)$$

es la solución general a la ecuación diferencial dada. Las constantes  $A_i$  vendrán determinadas por las condiciones iniciales del problema i.e. por los valores de  $f(x)$  y las  $(n-1)$  derivadas en digamos  $x = 0$ .

- Discutir donde la fuerza es repulsiva o atractiva
- Discutir qué zonas son permitidas o prohibidas clásicamente para una partícula sujeta a un potencial como el de la figura adjunta para distintos valores de la energía total
  - positiva como ilustra la figura
  - nula
  - negativa pero por encima del mínimo de potencial
  - negativa e igual al mínimo de potencial
  - negativa pero por debajo del mínimo de potencial



$$-\frac{\hbar^2}{2m} \frac{d^2\Psi(x)}{dx^2} + U_0\Psi(x) = E\Psi(x) ; \frac{d^2\Psi(x)}{dx^2} + \frac{2m}{\hbar^2}(E - U_0)\Psi(x) = 0 \quad (5)$$

- $E > U_0$

- $\frac{d^2\Psi(x)}{dx^2} = -k^2\Psi(x)$  con  $k = \sqrt{\frac{2m(E-U_0)}{\hbar^2}}$

- $r^2 + k^2 = 0 \Rightarrow r_{1,2} = \pm ik \Rightarrow \Psi(x) = A'e^{ikx} + B'e^{-ikx}$

- $\Psi(x) = A \sin kx + B \cos kx$

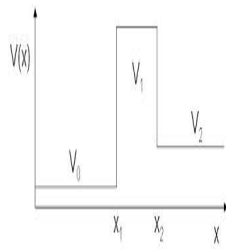
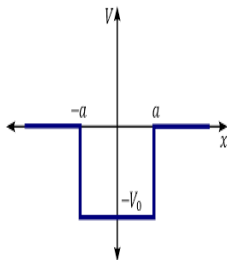
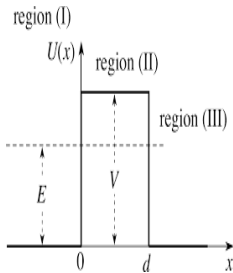
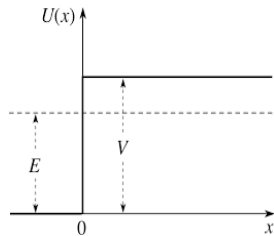
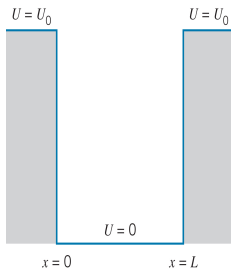
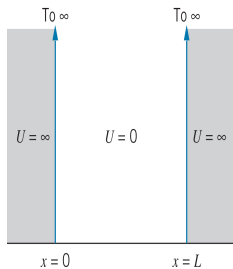
- $E < U_0$

- $\frac{d^2\Psi(x)}{dx^2} = k'^2\Psi(x)$  con  $k' = \sqrt{\frac{2m(U_0-E)}{\hbar^2}}$

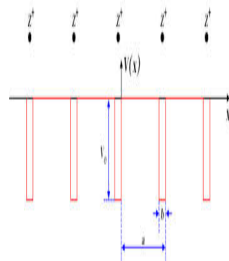
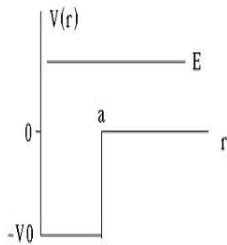
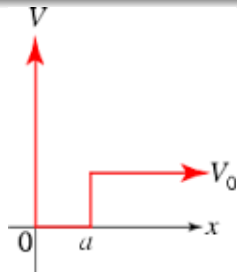
- $r^2 - k'^2 = 0 \Rightarrow r_{1,2} = \pm k'$

- $\Psi(x) = A e^{k'x} + B e^{-k'x}$

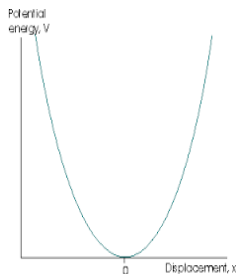
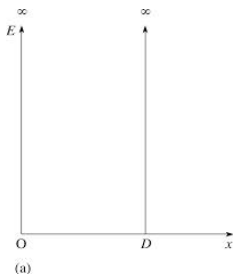
# Variaciones a la ecuación de Schrödinger para un potencial constante



# Variaciones a la ecuación de Schrödinger para un potencial constante



## Y otros no constantes



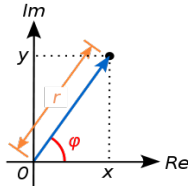
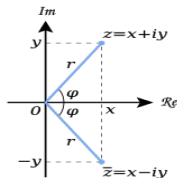
Caso particular del anterior haciendo  $U_0 = 0$ .

- Solución  $\Psi(x) = A \sin kx + B \cos kx$
- La energía viene dada por  $E = \frac{\hbar^2 \cdot k^2}{2m} = \frac{p^2}{2m}$  con  $p = \hbar k \Rightarrow$  *energía no está cuantificada*
- Como  $\sin kx = (e^{ikx} - e^{-ikx})/2i$  y  $\cos kx = (e^{ikx} + e^{-ikx})/2$   
 $\Rightarrow \Psi(x) = A' e^{ikx} + B' e^{-ikx}$
- Solución dependiente del tiempo:  $\Psi(x, t) = (A' e^{ikx} + B' e^{-ikx}) e^{-i\omega t}$
- Solución dependiente del tiempo:  $\Psi(x, t) = A' e^{i(kx - \omega t)} + B' e^{-i(kx + \omega t)}$
- Primer (segundo) término describe onda en dirección OX (resp. -OX)
- Para onda según OX hago  $B' = 0 \Rightarrow$  Interpretación probabilística :  
 $|\Psi(x)|^2 = |A'|^2$

# Campo de los números complejos $\mathbb{C}$

- Def:  $z \in \mathbb{C} \Leftrightarrow z = (x, y)$  siendo  $x, y$  números reales
- Si  $z_1 = (x_1, y_1)$  y  $z_2 = (x_2, y_2)$  son dos números complejos se define
  - $z_1 + z_2 = (x_1 + x_2, y_1 + y_2)$
  - $z_1 \cdot z_2 = (x_1x_2 - y_1y_2, x_1y_2 + x_2y_1)$ , en particular  $i = (0, 1) \mid i^2 = -1$
  - $\forall r \in \mathbb{R} \Rightarrow r \cdot z = (rx, ry)$
  - $\forall z \Rightarrow \exists -z = (-x, -y) \mid z + (-z) = (0, 0) = 0$
  - $\forall z \neq 0; \exists z^{-1} = (\frac{x}{x^2+y^2}, \frac{-y}{x^2+y^2}) \mid z \cdot z^{-1} = (1, 0) = 1$
  - $\bar{z} = z^* = (x, -y) \mid z \cdot \bar{z} = (x^2 + y^2, 0) = |z|^2$
- Not. alt :  $z = x + iy = \operatorname{Re} z + i \operatorname{Im} z$ , o bien  
 $z = re^{i\varphi} \equiv$  fórmula de Euler  $\mid e^{i\varphi} = \cos\varphi + i\sin\varphi$
- $r = \sqrt{x^2 + y^2}$ ;  $\varphi = \tan^{-1}(\frac{y}{x}) + 2k\pi, k = 0, 1, 2, \dots$
- Def. potencias  
 $z^n = r^n e^{in\varphi} \Rightarrow \bar{z} = z^* = re^{-i\varphi} \mid z \cdot z^* = r^2$ ;  $z^{-1} = r^{-1} e^{-i\varphi}$
- Def. raíces  $z^{1/n} = r^{1/n} e^{i\frac{\varphi+2k\pi}{n}}$   $k = 0, 1, 2, \dots, n-1 \Rightarrow \sqrt{-1} = \pm i = e^{i\pm\pi/2}$

Ejercicio: calcula las raíces cúbicas de -1!





- Ecuación de Schrödinger :  $i\hbar \frac{\partial}{\partial t} \Psi(\vec{r}, t) = -\frac{\hbar^2}{2m} \nabla^2 \Psi(\vec{r}, t) + U(r)\Psi(\vec{r}, t)$
- Multiplicando por  $\Psi^*(\vec{r}, t)$  :  

$$i\hbar \Psi^*(\vec{r}, t) \frac{\partial}{\partial t} \Psi(\vec{r}, t) = -\frac{\hbar^2}{2m} \Psi^*(\vec{r}, t) \nabla^2 \Psi(\vec{r}, t) + \Psi^*(\vec{r}, t) U(r) \Psi(\vec{r}, t)$$
- Para función conjugada :  $-i\hbar \frac{\partial}{\partial t} \Psi^*(\vec{r}, t) = -\frac{\hbar^2}{2m} \nabla^2 \Psi^*(\vec{r}, t) + U(r)\Psi^*(\vec{r}, t)$
- Multiplicando por  $\Psi(\vec{r}, t)$  :  

$$-i\hbar \Psi(\vec{r}, t) \frac{\partial}{\partial t} \Psi^*(\vec{r}, t) = -\frac{\hbar^2}{2m} \Psi(\vec{r}, t) \nabla^2 \Psi^*(\vec{r}, t) + \Psi(\vec{r}, t) U(r) \Psi^*(\vec{r}, t)$$
- Restando :  

$$i\hbar \frac{\partial}{\partial t} (\Psi \Psi^*) = -\frac{\hbar^2}{2m} [\Psi^* \nabla^2 \Psi - \Psi \nabla^2 \Psi^*] = -\frac{\hbar^2}{2m} \vec{\nabla} [\Psi^* \vec{\nabla} \Psi - \Psi \vec{\nabla} \Psi^*]$$
- Ecuación de continuidad :  $\frac{\partial}{\partial t} \int \rho d^3\vec{r} = - \int \vec{\nabla} \cdot \vec{j} d^3\vec{r} = - \oint \vec{j} \cdot d\vec{S}$
- Identificando :  $\rho = \Psi^* \Psi$  ;  $\vec{j} = -\frac{i\hbar}{2m} [\Psi^* \vec{\nabla} \Psi - \Psi \vec{\nabla} \Psi^*]$
- Para una partícula libre moviéndose según OX:  

$$\Psi(x, t) = A e^{\frac{i}{\hbar}(\rho x - Et)}; \Psi^*(x, t) = A^* e^{-\frac{i}{\hbar}(\rho x - Et)} \Rightarrow \vec{j} = \frac{\vec{p}}{m} |A|^2$$

Sea  $X$  una variable aleatoria que toma valores reales. Se dice que la función  $f(x)$  representa la densidad de probabilidad para  $X$  si

- $f(x) \geq 0$  ,  $\forall x$
- $\int_{-\infty}^{+\infty} f(x)dx = 1$

La probabilidad de que  $X$  tome valores en el intervalo  $[x_1, x_2]$  es

$$P(X \in [x_1, x_2]) = \int_{x_1}^{x_2} f(x)dx \quad (6)$$

Se define el momento n-simo como

$$\langle x^n \rangle = \int_{-\infty}^{+\infty} x^n f(x)dx \quad (7)$$

y puede demostrarse que conocer  $f(x)$  es equivalente a conocer todos sus momentos con  $n = 0, 1, 2, \dots$ . Los momentos más bajos, no triviales, son

- $E(X) = \langle x \rangle = \int_{-\infty}^{+\infty} xf(x)dx$  llamado valor esperado o valor medio o esperanza de  $X$
- $E(X^2) = \langle x^2 \rangle = \int_{-\infty}^{+\infty} x^2 f(x)dx$  que es el momento de segundo orden

En función de los dos momentos de orden más bajo se define la desviación típica de  $X$ ,  $\sigma$  o alternativamente  $\Delta x$ , como:

$$\sigma = \Delta x = \sqrt{E([X - \langle X \rangle]^2)} = \sqrt{\langle x^2 \rangle - \langle x \rangle^2} \quad (8)$$

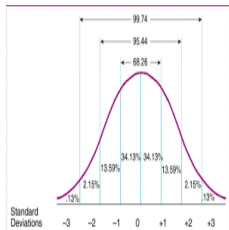
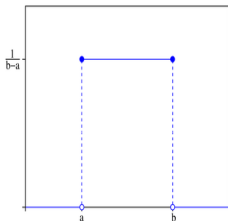
Dos ejemplos sencillos de densidades de probabilidad son:

- La distribución uniforme definida como

- $f(x) = \frac{1}{b-a}$  ; si  $x \in [a, b]$
- $f(x) = 0$  otherwise
- $\langle x \rangle = \frac{b+a}{2}$
- $\Delta x = \frac{b-a}{\sqrt{12}}$

- La distribución normal  $N(0,1)$

- $f(x) = \frac{1}{\sqrt{2\pi}} e^{-x^2/2}$
- $\langle x \rangle = 0$
- $\Delta x = 1$



Esta última es un caso especial de  $G(x) = \frac{1}{\sigma\sqrt{2\pi}} e^{-\frac{(x-\mu)^2}{2\sigma^2}}$  i.e.  $N(\mu, \sigma)$  con  $\mu = \langle x \rangle$ . Si  $X$  representa la medida de una magnitud física se dice que  $\Delta x = \sigma$  es el error de  $X$  a 68% de nivel de confianza.

En una zona del espacio la función de onda de una partícula viene dada por  $\Psi(x) = Cxe^{-bx}$  siendo C y b constantes. Encontrar la energía potencial y la energía.

Sol.

- $d\Psi(x)/dx = Ce^{-bx} - Cbx e^{-bx}$
- $d^2\Psi(x)/dx^2 = -bCe^{-bx} - bCe^{-bx} + b^2 Cxe^{-bx}$  y sustituyendo
- $-\frac{\hbar^2}{2m}(-2bCe^{-bx} + b^2 Cxe^{-bx}) + U(x)Cxe^{-bx} = ECxe^{-bx}$
- Dividiendo por  $Cxe^{-bx}$  resulta  $E = \frac{\hbar^2 b}{mx} - \frac{\hbar^2 b^2}{2m} + U(x)$
- Si queremos que E sea constante se deberán anular los términos dependientes de x i.e.
- Resulta  $U(x) = -\frac{\hbar^2 b}{mx}$
- Entonces tendremos  $E = -\frac{\hbar^2 b^2}{2m}$

- Partícula libre OX :  $\Psi(x, t) = Ae^{i(\mathbf{p}_x \cdot \mathbf{x} - E \cdot t)}$  ;  $\Psi^*(x, t) = A^* e^{-\frac{i}{\hbar}(\mathbf{p}_x \cdot \mathbf{x} - E \cdot t)}$
- $\frac{\partial \Psi(x, t)}{\partial x} = \frac{i\mathbf{p}_x}{\hbar} \Psi(x, t) \Rightarrow \mathbf{p}_x = -i\hbar \frac{\partial}{\partial x}$
- $\langle p_x \rangle = \int \Psi^*(x, t) p_x \Psi(x, t) dx = -i\hbar \int \Psi^*(x, t) \frac{\partial}{\partial x} \Psi(x, t) dx$
- Test de autoconsistencia sería ver que  $\frac{d\langle x \rangle}{dt} = \frac{\langle p_x \rangle}{m}$
- $\frac{d\langle x \rangle}{dt} = \frac{d}{dt} \int \Psi^*(x, t) \cdot x \cdot \Psi(x, t) = \int \left[ \frac{iE}{\hbar} \Psi^*(x, t) x \Psi(x, t) + \Psi^*(x, t) \frac{dx}{dt} \Psi(x, t) - \frac{iE}{\hbar} \Psi^*(x, t) x \Psi(x, t) \right] dx = \langle v_x \rangle = \frac{\langle p_x \rangle}{m} Q.E.D$
- $\frac{\partial \Psi(x, t)}{\partial t} = -i\frac{E}{\hbar} \Psi(x, t) \Rightarrow \mathbf{E} = i\hbar \frac{\partial}{\partial t}$

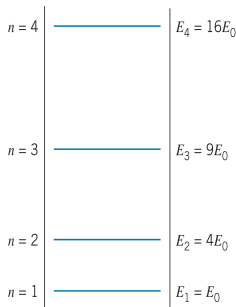
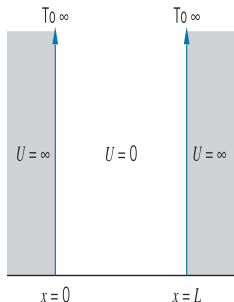
Ejemplo: Sea  $\Psi(x) = Ae^{-x^2/2a^2}$ . Determinar:  $A$ ,  $\langle p \rangle$ ,  $\langle p^2 \rangle$ ,  $\langle p^3 \rangle$

- $A^2 \int_{-\infty}^{\infty} e^{-x^2/a^2} dx = A^2 a \sqrt{\pi} = 1 \Rightarrow A = \frac{1}{\sqrt{a}} \frac{1}{\pi^{1/4}}$
- $\langle p \rangle = A^2 \int_{-\infty}^{\infty} e^{-x^2/2a^2} (-i\hbar \frac{\partial}{\partial x}) e^{-x^2/2a^2} dx = \frac{i\hbar A^2}{a^2} \int_{-\infty}^{\infty} x e^{-x^2/a^2} dx = 0$
- $p^2 = -\hbar^2 \frac{\partial^2}{\partial x^2} \Rightarrow \frac{\partial^2}{\partial x^2} e^{-x^2/2a^2} = (\frac{x^2}{a^4} - \frac{1}{a^2}) e^{-x^2/2a^2}$
- $\langle p^2 \rangle = -2\hbar^2 A^2 \int_0^{\infty} (\frac{x^2}{a^4} - \frac{1}{a^2}) e^{-x^2/a^2} dx \Rightarrow y = \frac{x}{a}$
- $\langle p^2 \rangle = 2\hbar^2 \frac{1}{a^2} \frac{1}{\sqrt{\pi}} \int_0^{\infty} (1 - y^2) e^{-y^2} dy = \frac{\hbar^2}{2a^2} \Rightarrow \Delta p_x = \frac{\hbar}{a\sqrt{2}}$
- $\langle x^2 \rangle = A^2 \int_{-\infty}^{\infty} x^2 e^{-x^2/a^2} dx = \frac{1}{a\sqrt{\pi}} \cdot \frac{\sqrt{\pi}}{2} a^3 = \frac{a^2}{2} \Rightarrow \Delta x = \frac{a}{\sqrt{2}}$
- $\Delta x \Delta p_x = \frac{\hbar}{2} \Leftrightarrow$  **función de onda gaussiana satura relaciones Heisenberg.**

# Pozo potencial infinito

$$U(x) = 0; 0 \leq x \leq L \quad ; \quad U(x) = \infty; x < 0, x > L \quad (9)$$

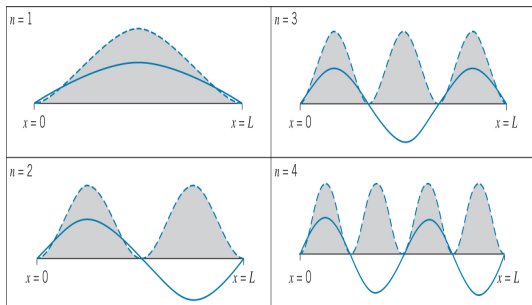
- Buscamos soluciones por separado en ambas zonas i.e.  $0 \leq x \leq L$  y fuera.
- $\Psi(x) = 0$  para  $x < 0$  y  $x > L$
- $\Psi(x) = A \sin kx + B \cos kx$  para  $0 \leq x \leq L$  con  $k = \sqrt{\frac{2mE}{\hbar^2}}$
- Para determinar  $A$  y  $B$  aplicamos condiciones de continuidad en los bordes  $x = 0, L$ 
  - $\Psi(0) = A \sin 0 + B \cos 0 = B = 0$
  - $\Psi(L) = A \sin kL = 0 \Rightarrow kL = n\pi \Rightarrow E_n = \frac{\hbar^2 k^2}{2m} = \frac{\hbar^2 \pi^2 n^2}{2mL^2} = \frac{\hbar^2 n^2}{8mL^2}; n = 1, 2, \dots$
- $E_0 = \frac{\hbar^2 \pi^2}{2mL^2}$  : estado fundamental  $\Rightarrow E_n = n^2 E_0$ : **energías cuantizadas**  $\neq 0$
- Nótese que  $\lim_{n \rightarrow \infty} \Delta E_n = \lim_{n \rightarrow \infty} \frac{E_{n+1} - E_n}{E_n} = \lim_{n \rightarrow \infty} \frac{2n+1}{n^2} \rightarrow 0$



## Pozo potencial infinito: normalización

- $\int_0^L A^2 \sin^2 \frac{n\pi x}{L} dx = A^2 \frac{L}{2} = 1 \Rightarrow A = \sqrt{\frac{2}{L}} \Rightarrow \Psi_n(x) = \sqrt{\frac{2}{L}} \sin \frac{n\pi x}{L}; n = 1, 2, \dots$
- $\int_0^L \Psi_n(x) \cdot \Psi_m(x) dx = \delta_{nm}$
- Si  $\Psi$  es solución general  $\Rightarrow \Psi = \sum_i A_i \Psi_i(x) \Rightarrow A_j = \int_0^L \Psi(x) \Psi_j(x) dx$

Probabilidad encontrar partícula en distintos estados en figura adjunta. Nótese, **densidad probabilidad encontrar partícula clásica sería uniforme**



Un electrón está atrapado en un potencial de longitud  $L = 0.1nm$ . Determinar:

- la energía del estado fundamental y de los dos primeros estados excitados
- que energía hay que suministrar al electron para llevarle del estado fundamental al segundo nivel excitado
- cuando el electrón salta del segundo nivel excitado al primero, que cantidad de energía es emitida

Solución:

- $E_0 = \frac{h^2}{8mL^2} = \frac{(hc)^2}{8mc^2L^2} = \frac{(1240eV \cdot nm)^2}{8 \cdot 511 \text{ KeV}(0.1nm)^2} = 37.6 \text{ eV}$ 
  - Para  $n = 2 \Rightarrow E_2 = 4E_0 = 150.4 \text{ eV}$
  - Para  $n = 3 \Rightarrow E_3 = 9E_0 = 338.4 \text{ eV}$
- Para que el electrón salte del estado fundamental al segundo estado excitado le hemos de suministrar  $\Delta E = E_2 - E_0 = 300.8eV$
- Cuando el electrón salta de  $E_1$  a  $E_0$  emite una energía de  $\Delta E = E_3 - E_2 = 188 \text{ eV}$



Seguimos con el electrón del ejemplo anterior. Determinar:

- en el estado fundamental la probabilidad de encontrarle entre  $x = 0.009 \text{ nm}$  y  $x = 0.011 \text{ nm}$
- en el primer estado excitado la probabilidad de encontrarle entre  $x = 0$  y  $x = 0.025 \text{ nm}$
- $\langle x \rangle$  para cualquier estado

Solución:

- $P(x)dx = |\Psi(x)|^2 dx = \frac{2}{L} \sin^2 \frac{\pi x}{L} dx = \frac{2}{0.1 \text{ nm}} \sin^2 \frac{\pi \cdot 0.01 \text{ nm}}{0.1 \text{ nm}} \cdot 0.002 \text{ nm} = 0.0038 = 0.38\%$
- $P(x_1, x_2) = 2/L \int_{x_1}^{x_2} \sin^2 \frac{2\pi x}{L} dx = \left( \frac{x}{L} - \frac{1}{4\pi} \sin \frac{4\pi x}{L} \right)_{x_1}^{x_2} = 0.25 = 25\%$
- $\langle x \rangle = \int_0^L |\Psi(x)|^2 x dx = 2/L \int_0^L x \sin^2 \frac{n\pi x}{L} dx = \frac{L}{2} \Rightarrow$  *medir  $\langle x \rangle$  no dice en que estado se encuentra el electrón puesto que  $\langle x \rangle = L/2$  es independiente de  $n$ .*
- Recordar  $\int x \sin^2 ax = \frac{x^2}{4} - \frac{x \sin 2ax}{4a} - \frac{\cos 2ax}{8a^2}$  ;  $a = \frac{n\pi}{L}$

- $\Psi(x) = \sqrt{\frac{2}{L}} \sin \frac{n\pi x}{L}$
- $\langle x \rangle = \frac{2}{L} \int_0^L x \cdot \sin^2 \frac{n\pi x}{L} dx = \frac{2}{L} \frac{L^2}{4} = \frac{L}{2}$
- $\langle x^2 \rangle = \frac{2}{L} \int_0^L x^2 \cdot \sin^2 \frac{n\pi x}{L} dx = \frac{2}{L} \left(\frac{L}{n\pi}\right)^3 \int_0^{n\pi} u^2 \sin^2 u du ; u = n\pi x/L$
- $\int_0^{n\pi} u^2 \sin^2 u du = \left[\frac{u^3}{6} - \left(\frac{u^2}{4} - \frac{1}{8}\right) \sin 2u - \frac{u \cos 2u}{4}\right]_0^{n\pi} \Rightarrow \langle x^2 \rangle = \frac{2L^2}{(n\pi)^3} \left[\frac{(n\pi)^3}{6} - \frac{n\pi}{4}\right] = L^2 \left[\frac{1}{3} - \frac{1}{2n^2\pi^2}\right]$
- $\Delta x = \sqrt{\langle x^2 \rangle - \langle x \rangle^2} = L \sqrt{\frac{1}{12} - \frac{1}{2n^2\pi^2}}$
- $\langle p \rangle = \frac{2}{L} \int_0^L \sin \frac{n\pi x}{L} (-i\hbar \frac{d}{dx}) \sin \frac{n\pi x}{L} dx = \frac{2}{L} (-i\hbar \frac{n\pi}{L}) \int_0^L \sin \frac{n\pi x}{L} \cos \frac{n\pi x}{L} dx = 0$
- $\langle p^2 \rangle = \frac{2}{L} \int_0^L \sin \frac{n\pi x}{L} (-i\hbar \frac{d}{dx})^2 \sin \frac{n\pi x}{L} dx = \frac{2}{L} \left(\frac{\hbar n\pi}{L}\right)^2 \int_0^L \sin^2 \frac{n\pi x}{L} dx = \frac{n^2 \pi^2 \hbar^2}{L^2}$
- Alternativa :  $K = E_n \Rightarrow \frac{p^2}{2m} = \frac{\hbar^2 n^2}{8mL^2} \Rightarrow p^2 = \frac{\hbar^2 n^2}{4L^2} = \frac{n^2 \pi^2 \hbar^2}{L^2}$
- $\Delta p = \sqrt{\langle p^2 \rangle - \langle p \rangle^2} = \frac{\hbar n}{2L} = \frac{n\pi \hbar}{L}$
- $\Delta x \Delta p = \sqrt{\frac{1}{12} - \frac{1}{2n^2\pi^2}} \frac{\hbar n}{2} = \frac{\hbar}{2} \sqrt{\frac{n^2}{12} - \frac{1}{2\pi^2}}$
- $\Delta x \Delta p = 0.09\hbar = 0.57\hbar$  para  $n=1$ , donde tiene el mínimo, y crece con  $n$ .

Ejemplo :  $U_0 = 400 \text{ eV}$  y suponemos  $E < U_0$

$$U(x) = 0; 0 \leq x \leq L \quad (10)$$

$$U(x) = U_0; x < 0, x > L \quad (11)$$

- $0 \leq x \leq L \Rightarrow \Psi_0(x) = A \sin kx + B \cos kx$
- $x < 0 \Rightarrow \Psi_1(x) = Ce^{k'x} + De^{-k'x}$  porque  $\uparrow, x \rightarrow -\infty$ .
- $x > L \Rightarrow \Psi_2(x) = Ge^{-k'x} + Fe^{k'x}$  porque  $\uparrow, x \rightarrow +\infty$ .
- $\Psi_0(0) = \Psi_1(0) \Rightarrow B = C$  ;  $\Psi'_0(0) = \Psi'_1(0) \Rightarrow Ak = Ck' \Rightarrow C = B = Ak/k'$
- $\Psi_0(L) = \Psi_2(L) \Rightarrow A \sin kL + Ak/k' \cos kL = Ge^{-k'L}$
- $\Psi'_0(L) = \Psi'_2(L) \Rightarrow Ak \cos kL - Ak^2/k' \sin kL = -Gk'e^{-k'L}$
- Dividiendo estas dos últimas ecuaciones resulta una ecuación entre  $k$  y  $k'$

$$-k' = \frac{k \cos kL - k^2/k' \sin kL}{\sin kL + k/k' \cos kL} \quad (12)$$

que hay que resolver para determinar  $E$  numéricamente.

- Recordemos que  $k = \sqrt{2mE}/\hbar$  y  $k' = \sqrt{2m(U_0 - E)}/\hbar$

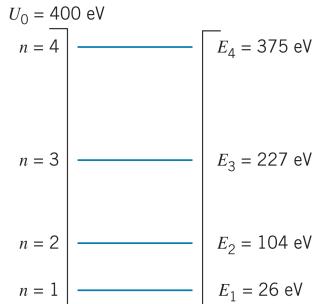
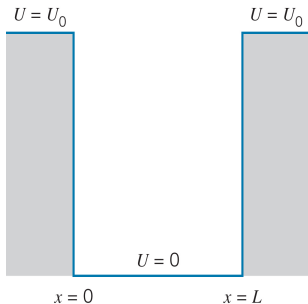
## Pozo potencial finito : Resultados numéricos

Ejemplo :  $U_0 = 400 \text{ eV}$  ;  $L = 0.1 \text{ nm}$

$$U(x) = 0; 0 \leq x \leq L \quad (13)$$

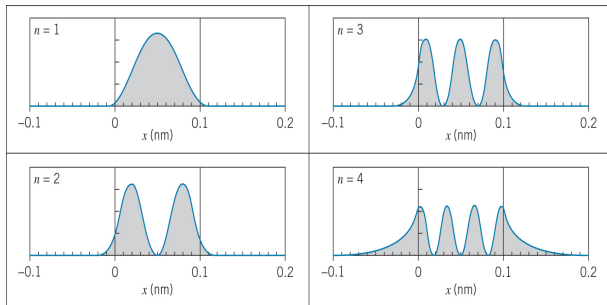
$$U(x) = U_0; x < 0, x > L \quad (14)$$

- Niveles energía primeros cuatro estados figura adjunta, ningún nivel puede superar  $U_0$ , niveles energía menores que en pozo infinito misma anchura.
- Las diferencias se acentúan cuando  $n \rightarrow 4$
- $\Delta x$  pozo finito mayor que en infinito, debido a penetración en  $x < 0$  y  $x > L$ , luego  $\Delta p_x$  será menor, luego menor  $K = E$



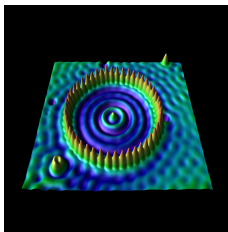
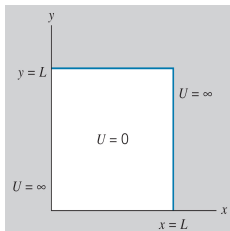
## Pozo potencial finito : Resultados numéricos, su interpretación

- Las densidades de probabilidad de los cuatro primeros estados excitados exhiben la penetración en zonas prohibidas clásicamente. Esta penetración aumenta si  $n$  crece, luego  $\Delta x \uparrow$  si  $n \uparrow \Rightarrow \Delta p \downarrow \Rightarrow$  diferencias entre estados con un mismo  $n$  en pozo infinito y finito aumentan si  $n \uparrow$ .
- Para  $n = 4$  estoy cerca de  $U_0$  necesito poca  $\Delta E$  para saltar fuera del pozo, luego  $\Delta t \uparrow \Rightarrow \Delta x \uparrow$
- Para  $n = 1$  estoy lejos de  $U_0$  necesito  $\Delta E$  grande para saltar fuera del pozo, luego  $\Delta t \downarrow \Rightarrow \Delta x \downarrow$
- Nótese la continuidad de la función de onda y su derivada en  $x = 0$  y  $x = L$



## Pozo potencial infinito bidimensional : degeneración en energía

- $-(\hbar^2/2m)\{\frac{\partial^2\Psi(x,y)}{\partial x^2} + \frac{\partial^2\Psi(x,y)}{\partial y^2}\} + U(x,y)\Psi(x,y) = E\Psi(x,y)$
- $U(x,y) = 0$  ;  $0 \leq x \leq L$  ;  $0 \leq y \leq L$  ;  $U(x,y) = \infty$  ; otherwise
- Busquemos soluciones separables i.e.  $\Psi(x,y) = f(x)g(y)$
- $f(x) = A \sin k_x x + B \cos k_x x$  ;  $g(y) = C \sin k_y y + D \cos k_y y$
- Cond. contorno :  $\Psi(0,y) = \Psi(L,y) = 0$  ;  $\forall y$  ;  $\Psi(x,0) = \Psi(x,L) = 0$  ;  $\forall x$
- Lueg  $f(0) = 0 \Rightarrow B = 0$  y  $g(0) = 0 \Rightarrow D = 0$
- Y  $f(L) = 0 \Rightarrow k_x L = n_x \pi$  ;  $g(L) = 0 \Rightarrow k_y L = n_y \pi$
- $\Psi(x,y) = A' \sin \frac{n_x \pi x}{L} \sin \frac{n_y \pi y}{L} \Rightarrow A' = \frac{2}{L} \mid \int_0^L \int_0^L |\Psi|^2 dx dy = 1$
- $E_n = \frac{\hbar^2 \pi^2}{2mL^2} (n_x^2 + n_y^2) = \frac{\hbar^2}{8mL^2} (n_x^2 + n_y^2) = E_0 (n_x^2 + n_y^2)$  ;  $E_0 = \frac{\hbar^2}{8mL^2}$
- Pozo potencial infinito tridimensional : **quantum dot**

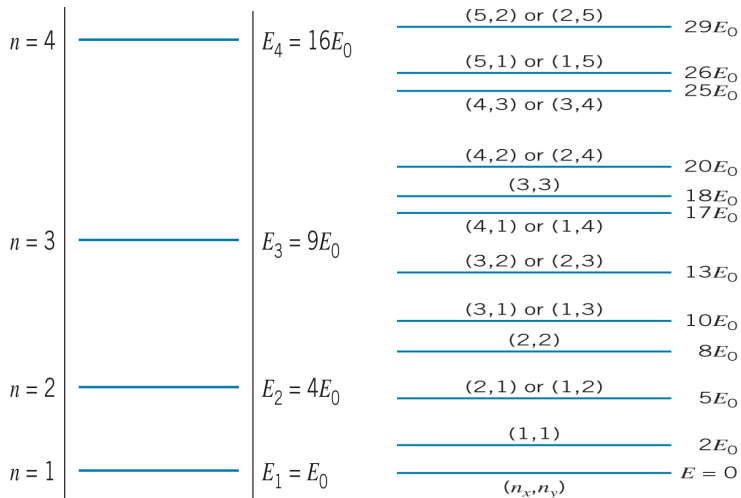


# Ondas estacionarias bidimensionales : figuras de Ernst Chladni ca. 1800

Son el análogo clásico al corral cuántico de la figura anterior. La figura muestra líneas nodales en algunos modos normales de vibración de un timbal.

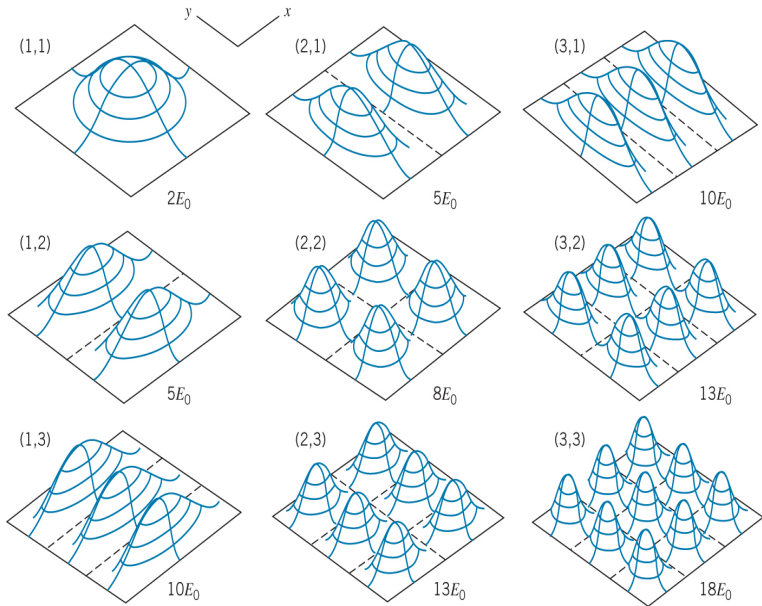


# Comparativa niveles energia pozo infinito uni - y bidimensional $L=0.1 \text{ nm}$





# Pozo potencial infinito bidimensional



## Pozo potencial infinito bidimensional

- Figura anterior muestra ciertas correlaciones entre posiciones máximos y mínimos con la energía
- Ejemplo : para  $E = 8E_0$  cuatro máximos centrados en  $x = L/4$  o  $y = L/4$
- También ocurre que para una misma energía puedo tener dos distribuciones diferentes de máximos y mínimos, como ocurre para dos estados con  $E = 13 E_0$  pero  $n_x \Leftrightarrow n_y$
- Se dice estos estados son degenerados : números cuánticos diferentes,  $n_x, n_y \Rightarrow$  misma  $E$
- Ejemplo llamativo en figura adjunta a  $E = 50 E_0$  : triplemente degenerado  $(1,7), (7,1), (5,5)$

